



КОЛЛЕКТИВНАЯ ДИНАМИКА КАСКАДНОГО СОЕДИНЕНИЯ ФАЗОВЫХ СИСТЕМ

В.В. Матросов, М.В. Корзинова

Рассмотрена динамическая система на фазовом торе, описывающая поведение ансамбля двух каскадно-связанных фазовых систем. Изучены возможные фазовые портреты и построены соответствующие им области параметров. Установлено, что наряду с режимами синхронизации в системе возможно существование различных режимов биений, включая весьма сложные.

Исключительный интерес в нелинейной динамике приобретают сейчас, наряду с анализом нелинейных полей, исследования сложных дискретных нелинейных сетей и решеток. Эти динамические модели интересны не только как приближения непрерывных полей, но имеют и самостоятельный интерес в связи с изучением энергосетей, фазированных антенных решеток и т.д. [1,2]. Сложность таких моделей пока не оставляет надежды, даже существенно опираясь на компьютерный эксперимент, получить исчерпывающие сведения о динамике. Вследствие этого особый интерес приобретают исследования коллективной динамики простейших ансамблей, состоящих из двух (или нескольких) активных элементов, связанных между собой.

В настоящей работе рассматривается коллективная динамика двух последовательно соединенных автогенераторов, имеющих фазовые цепи управления, то есть динамика каскадного соединения двух систем фазовой синхронизации СФС1 и СФС2 (рис. 1). На вход СФС1 поступает опорный сигнал с фазой φ_0 , а выходной сигнал СФС1 является опорным сигналом для СФС2. В силу каскадного типа соединения здесь реализуется связь между генераторами в прямом направлении (от первого Г1 ко второму Г2). Кроме этого имеется дополнительная связь в обратном направлении (от Г2 к Г1). Применение каскадного соединения дает возможность получения улучшенной фильтрации помех [3]. Что касается динамических свойств такой коллективной системы [4], то в силу наличия периодических нелинейностей в каждой парциальной системе можно ожидать, что каскадная система будет обладать весьма сложной, богатой различными возможностями динамикой.

Рассмотрим динамику каскадной системы [4,5] в простейшем случае идеализированных фильтров ($K(p) = 1$) в цепях управления СФС1 и СФС2. Математической моделью такого каскада является система уравнений

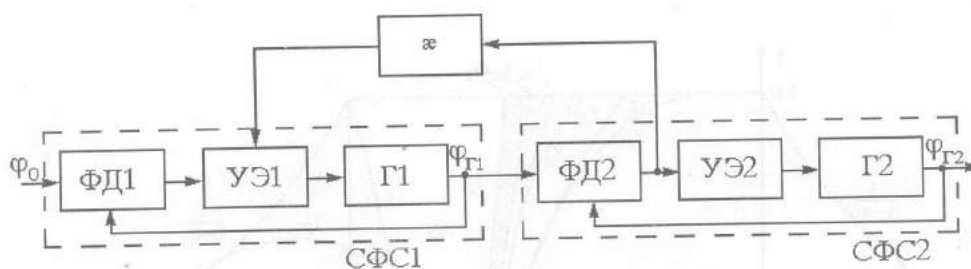


Рис. 1. Каскадное соединение фазовых систем: ФД – фазовый детектор, УЭ – управляющий элемент, Г – генератор

$$\frac{d\psi_1}{dt} = \gamma_1 - \sin\psi_1 - \alpha \sin\psi_2, \quad (1)$$

$$\frac{d\psi_2}{dt} = (\gamma_2 - \gamma_1) + \sin\psi_1 - (1 - \alpha) \sin\psi_2$$

на тороидальной фазовой поверхности $U_0 = \{\psi_1(\text{mod}2\pi), \psi_2(\text{mod}2\pi)\}$. В уравнениях (1) t – безразмерное время, $\psi_1 = (\varphi_{Г1} - \varphi_0)$ – текущее фазовое рассогласование между сигналом первого генератора и опорным сигналом, $\psi_2 = (\varphi_{Г1} - \varphi_{Г2})$ – текущее рассогласование между сигналами первого и второго генераторов, γ_1 и γ_2 – начальные расстройки частот первого и второго генераторов от опорного сигнала, α – параметр дополнительной связи между генераторами через сигналы рассогласований.

Система (1) инвариантна относительно преобразования $\bar{\gamma}_1 = -\gamma_1$, $\bar{\gamma}_2 = -\gamma_2$, $\bar{\psi}_1 = -\psi_1$, $\bar{\psi}_2 = -\psi_2$, поэтому достаточно исследовать ее движения в области положительных значений γ ($\gamma_1 > 0, \gamma_2 > 0$).

Далее рассмотрим случай одинаковых начальных расстроек по частоте $\gamma_1 = \gamma_2 = \gamma$.

Тогда в области C_0^+ , определяемой выражением

$$C_0^+ : \{0 < \gamma < \min(\frac{1}{1-\alpha}, \frac{-1}{1-\alpha}, 1)\}, \quad (2)$$

система (1) имеет на поверхности тора U_0 четыре состояния равновесия

$$O_1(\psi_1^*, \psi_2^*), O_2(\psi_1^*, \pi - \psi_2^*), O_3(\pi - \psi_1^*, \pi - \psi_2^*), O_4(\pi - \psi_1^*, \psi_2^*), \quad (3)$$

где величины ψ_1^* и ψ_2^* определяются равенствами

$$\psi_1^* = \arcsin((1-\alpha)\gamma), \psi_2^* = \arcsin(\gamma). \quad (4)$$

Состояния равновесия O_2 и O_4 являются седлами, а состояния равновесия O_1 и O_3 – узлами или фокусами, устойчивость которых определяется знаком величины $\sigma = \cos\psi_1^* + (1-\alpha)\cos\psi_2^*$. Если $\sigma < 0$ ($\sigma > 0$), то O_3 устойчивый (неустойчивый) фокус или узел, а O_1 , соответственно, неустойчивый (устойчивый) фокус или узел. Устойчивые состояния равновесия O_1 или O_3 определяют синхронные режимы I_{s1} или I_{s2} работы каскадной системы с ошибками слежения ψ_1^* и ψ_2^* или $\pi - \psi_1^*$ и $\pi - \psi_2^*$ соответственно. Область C_0^+ является областью существования синхронного режима.

В силу существенной нелинейности модели (1) исследование структуры разбиения тора U_0 на траектории выполнено с помощью качественно-численного

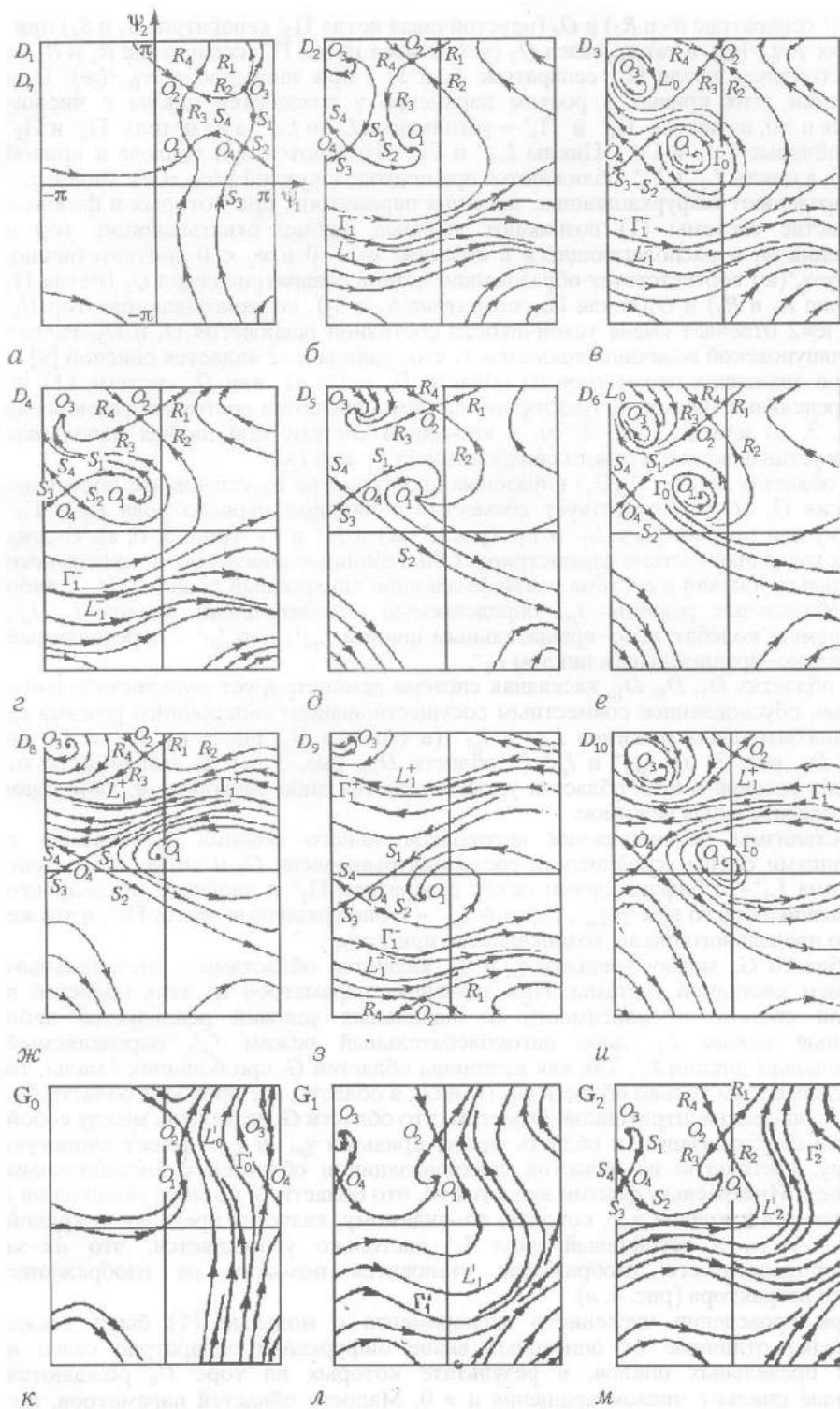


Рис. 3

петля Π_1^+ сепаратрис R_2 и R_3) и O_4 (неустойчивая петля Π_2^+ сепаратрис S_1 и S_4) при значениях $\gamma = \gamma_{pn}^+(\alpha)$, а также седел O_2 (устойчивая петля Π_1^- сепаратрис R_1 и R_4) и O_4 (неустойчивая петля Π_2^- сепаратрис S_3 и S_1) при значениях $\gamma = \gamma_{pn}^-(\alpha)$. При пересечении этих кривых с ростом параметра γ рождаются циклы с числом вращения $\mu = 0$; из петель Π_1^- и Π_1^+ — устойчивые L_1^- и L_1^+ , а из петель Π_2^- и Π_2^+ — неустойчивые Γ_1^- и Γ_1^+ . Циклы L_1^- и Γ_1^- сближаются при подходе к кривой $\gamma = \gamma_{dn}^-(\alpha)$, а циклы L_1^+ и Γ_1^+ сближаются при подходе к кривой $\gamma = \gamma_{dn}^+(\alpha)$. Линии γ_{dn}^+ и γ_{dn}^- определяют бифуркационные значения параметров, при которых в фазовом пространстве системы (1) возникают двойные циклы, охватывающие тор в направлении ψ_1 и располагающиеся в областях $\psi_2 > 0$ и $\psi_2 < 0$ соответственно. Кривая $\gamma = \gamma_p^*(\alpha)$ соответствует образованию петель сепаратрис седел O_2 (петля Π_3 сепаратрис R_4 и R_3) и O_4 (петля Π_4 сепаратрис S_1 и S_2), не охватывающих тор U_0 . Прямая $\alpha = 2$ отвечает смене устойчивости состояний равновесия O_1 и O_3 . Расчет первой ляпуновской величины показывает, что граница $\alpha = 2$ является опасной [9].

При значениях параметров из области $D_0 = D_1 \cup D_7$ или D_5 система (1) не имеет предельных циклов, аттракторами системы являются состояния равновесия O_1 (рис. 3, а) или O_3 (рис. 3, д), в каскадной системе при любых начальных условиях устанавливается режим синхронизации I_{s1} или I_{s2} .

В областях $D_6, D_8, D_2(D_4)$ в фазовом пространстве U_0 устойчивое состояние равновесия O_1 (O_3) сосуществует совместно с циклами первого рода L_0 и Γ_0 (рис. 3, е) или второго рода L_1^+ и Γ_1^+ (рис. 3, ж) и L_1^- и Γ_1^- (рис. 3, б, з). В этих областях каскадная система демонстрирует бистабильное поведение, в зависимости от начальных условий в системе реализуется либо синхронный режим $I_{s1}(I_{s2})$, либо автоколебательные режимы: I_{p0} , определяемый колебательным циклом L_0 ; I_{p^+} , определяемый колебательно-вращательным циклом L_{p1}^+ ; или I_{p1^-} , определяемый колебательно-вращательным циклом L_1^- .

В областях D_3, D_9, D_{10} каскадная система демонстрирует мультистабильное поведение, обусловленное совместным сосуществованием синхронного режима I_{s1} и автоколебательных режимов I_{p0} и I_{p1^-} (в области D_3 , рис. 3, в), I_{p1^+} и I_{p1^-} (в области D_9 , рис. 3, з), I_{p01^+} и I_{p1^+} (в области D_{10} , рис. 3, и). В зависимости от начальных условий в этих областях устанавливается либо синхронный, либо один из автоколебательных режимов.

Механизмы возникновения автоколебательного режима I_{p0} связаны с бифуркациями смены устойчивости состояния равновесия O_3 и петли сепаратрис Π_3 режима I_{p1^+} с бифуркациями петли сепаратрис Π_1^+ и двойного предельного цикла, возникающего при $\gamma = \gamma_{dn}^+$; режима I_{p1^-} — с бифуркациями петли Π_1^- , а также двойного предельного цикла, возникающего при $\gamma = \gamma_{dn}^-$.

Области G_i , между кривыми γ_{pi} и γ_{di} , являются областями с бистабильным поведением каскадной системы. При значениях параметров из этих областей в каскадной системе в зависимости от начальных условий реализуется либо синхронный режим I_{s1} , либо автоколебательный режим I_{p1^i} , определяемый колебательным циклом L_i^i . Так как величины областей G_i при больших i малы, то на рис. 2 выделены только области G_0, G_1 и G_2 , а область, где проходят области G_3, G_4 и G_5, \dots , выделена штриховкой. Отметим, что области G_i разделены между собой областями синхронизации, и область между кривыми γ_{p0} и γ_{dn}^- имеет слоистую структуру, состоящую из областей синхронизации и областей с бистабильным поведением. Интересным фактом является то, что области G_i по мере увеличения i накапливаются к кривой γ_{dn}^- , которая, по-видимому, является предельной кривой γ_{di}^- при $i \rightarrow \infty$, а устойчивый цикл L_i^i настолько усложняется, что из-за многооборотности его изображение становится похожим на изображение странного аттрактора (рис. 4, а).

При проведении численного эксперимента с моделью (1) были также установлены отличные от описанных выше бифуркации сепаратрис седел и двойных предельных циклов, в результате которых на торе U_0 рождаются предельные циклы с числом вращения $\mu \neq 0$. Малость областей параметров, где существуют эти циклы, и большое их разнообразие не позволяет выделить эти области на параметрическом портрете $\{\alpha, \gamma\}$, изображенном на рис. 2. На рис. 4 в

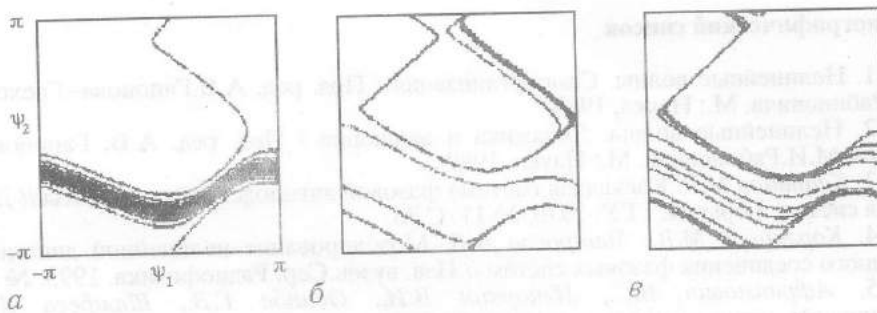


Рис. 4

качестве примера приведены некоторые циклы с числом вращения $\mu \neq 0$, построенные при значениях параметров $\varepsilon = 1.29$, $\gamma = 0.7$ (см. рис. 4, а), $\varepsilon = 1.763559417$, $\gamma = 0.5$ (см. рис. 4, б), $\varepsilon = 1.662147$, $\gamma = 0.3$ (см. рис. 4, в). Цикл на рис. 4, а рождается из петли сепаратрис R_1 и R_2 седла O_2 и имеет число вращения $\mu = 1/18$. Цикл на рис. 4, б возникает при разрушении петли сепаратрис R_1 и R_4 и имеет $\mu = 1/16$. Цикл на рис. 4, в имеет число вращения $\mu = 4/9$ и возникает из петли сепаратрис R_1 и R_4 седла O_2 , охватывающей тор как в направлении ψ_1 , так и в направлении ψ_2 . При значениях параметров в окрестности областей со «сложными» циклами (вид которых напоминает странный аттрактор) в системе наблюдается существенное удлинение и усложнение переходных процессов к режиму синхронизации. На рис. 5 приведены фазовый портрет и зависимость ψ_2 от времени t , построенные при значениях $\gamma = 0.24$, $\varepsilon = 1.6308$ и иллюстрирующие это явление.

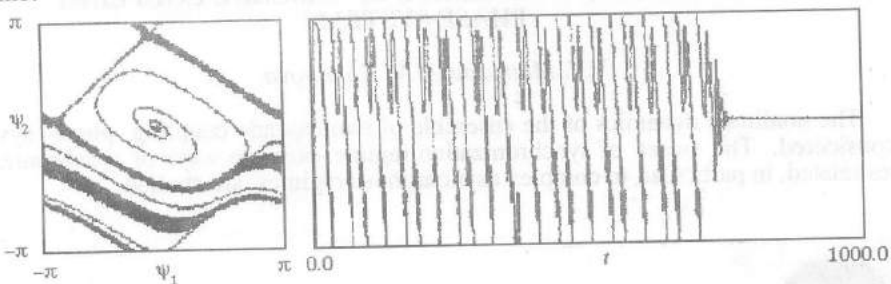


Рис. 5

Таким образом, коллективная динамика ансамбля двух каскадно-соединенных фазовых систем (с дополнительной связью), обладающих очень простой парциальной динамикой (системы первого порядка), характеризуется широким спектром динамических режимов, как синхронных, так и асинхронных (автоколебательных). Наряду с обычным типом перехода от синхронного режима к автоколебательному через некоторую бифуркационную кривую, соответствующую слиянию сепаратрис или двойному циклу, установлено существование такого перехода от синхронного режима к автоколебательному, при котором существует не одна бифуркационная кривая, а целая серия кривых, образующая на плоскости параметров некоторую переходную область со слоистой структурой. Установлено также, что автоколебательные режимы, наряду с достаточно простыми циклами, могут определяться сложными многооборотными циклами, которые, по-видимому, можно рассматривать в качестве своеобразных предвестников хаотических режимов при переходе от каскада двух фазовых систем к цепочке с большим числом элементов.

Работа выполнена при финансовой поддержке Российского фонда фундаментальных исследований (проект 93-02-15424).

Библиографический список

1. Нелинейные волны. Самоорганизация / Под. ред. А.В.Гапонова-Грехова, М.И.Рабиновича. М.: Наука, 1983.
2. Нелинейные волны. Динамика и эволюция / Под. ред. А.В. Гапонова-Грехова, М.И.Рабиновича. М.: Наука, 1989.
3. Капранов М.В. Каскадная система фазовой автоподстройки частоты // Динамика систем. Горький: ГГУ, 1976. № 11. С.76.
4. Корзинова М.В., Матросов В.В. Моделирование нелинейной динамики каскадного соединения фазовых систем // Изв. вузов.Сер. Радиофизика. 1993. № 8.
5. Афраймович В.С., Некоркин В.И., Осипов Г.В., Шалфеев В.Д. Устойчивость, структуры и хаос в нелинейных сетях синхронизации / Под. ред. А.В.Гапонова-Грехова, М.И.Рабиновича. Горький: ИПФ АН СССР, 1989.
6. Барбашин Е.А., Табуева В.А. Динамические системы с цилиндрическим фазовым пространством. М.: Наука, 1969.
7. Бельх В.Н., Веричев Н.Н. О динамике взаимосвязанных ротаторов // Изв. вузов. Сер. Радиофизика. 1988. № 6.
8. Плисс В.А. Нелокальные проблемы теории колебаний. М.: Наука, 1967.
9. Баутин Н.Н. Поведение динамических систем вблизи границ области устойчивости. М.: Наука, 1984.

НИИ прикладной математики и
кибернетики

Поступила в редакцию 17.01.94
после переработки 22.03.94

COOPERATIVE DYNAMICS OF CASCADE COUPLING PHASE SYSTEMS

V.V. Matrosov, M.V. Korzinova

The nonlinear dynamics of the ensemble of two cascade coupling phase systems is considered. The onset of synchronization regime, possible ways of synchronization losses related, in particular, to complex asynchronous regimes are studied.



Матросов Валерий Владимирович – родился в 1960 году. Окончил факультет прикладной математики и кибернетики Горьковского государственного университета в 1982 году по специальности «прикладная математика». С 1984 года работает в НИИ прикладной математики и кибернетики при ННГУ. Область научных интересов – теория синхронизации, математическое моделирование нелинейных систем, автоматизация научных исследований. Опубликовал 12 научных статей, соавтор учебного пособия.



Корзинова Марина Владимировна родилась в 1969 году в Горьком. Окончила Нижегородский государственный университет в 1992 году. После окончания университета работает в НИИ прикладной математики и кибернетики. Область научных интересов – теория колебаний и волн, теория синхронизации, математическое моделирование. Имеет 7 публикаций.